

1. まえがき 本研究は、図1に示すよろく高橋脚橋の地震に対する橋軸直角水平方向の振動解析を取り扱ったものである。この目的的ためには、通常のマトリックス解析法が適用できるが、ここでは、梁を基本単位と考えた動的剛性マトリックスを用いて、全体系のつりあい方程式を導いている。応答解析は橋脚下端での入力を対象に、構造物の固有振動数を計算し、高速フーリエ変換を使用する。

2. 解析手法 地盤が充分に剛でないと仮定し、橋脚下端を固定とする。橋軸と橋脚は橋軸直角方向の挙動に対して剛結状態とし、それから曲げ変形を対象とする。また橋軸は各径間にわたりて、橋脚もそれと同様に断面諸元を有する場合を考える。図1に、各部分の軸端モーメントおよびせん断力を示す。まず要素として梁の曲げ振動は

$$EI \frac{d^2v}{dx^2} + \mu \frac{dv}{dt} = 0 \quad (1)$$

で与えられるから、説明振動時の解は

$$v(x) = A \cos\left(\frac{\lambda x}{l}\right) + B \sin\left(\frac{\lambda x}{l}\right) + C \cosh\left(\frac{\lambda x}{l}\right) + D \sinh\left(\frac{\lambda x}{l}\right) \quad (2)$$

ここで、 μ : 単位長さ当たり質量、 EI : 曲げ剛性、 l : 部材長、 ω : 固有振動数、 $\lambda = l(\mu w^2/EI)^{1/4}$ 、そして係数 $A \sim D$ は境界条件より決定される。式(2)を基に、断面力～変形の関係が動的剛性マトリックスを通して次式のように表わされる。

$$\begin{pmatrix} Q_A \\ M_A \\ Q_B \\ M_B \end{pmatrix} = \begin{pmatrix} EI F_6(\lambda) & & & \\ -\frac{EI}{l^2} F_4(\lambda) & EI & & \\ & -\frac{EI}{l^2} F_5(\lambda) & EI & \\ EI & -\frac{EI}{l^2} F_3(\lambda) & -\frac{EI}{l^2} F_4(\lambda) & EI F_2(\lambda) \\ EI & EI & EI & EI F_2(\lambda) \end{pmatrix}_{\text{Sym.}} \begin{pmatrix} v_A \\ \theta_A \\ v_B \\ \theta_B \end{pmatrix} \quad \begin{aligned} F_1(\lambda) &= -\lambda \frac{\sinh \lambda - \sin \lambda}{\cosh \lambda \cdot \cos \lambda - 1} \\ F_2(\lambda) &= -\lambda \frac{\cosh \lambda \cdot \sin \lambda - \sinh \lambda \cdot \cos \lambda}{\cosh \lambda \cdot \cos \lambda - 1} \\ F_3(\lambda) &= -\lambda^2 \frac{\cosh \lambda - \cos \lambda}{\cosh \lambda \cdot \cos \lambda - 1}, \quad F_4(\lambda) = \lambda^2 \frac{\sinh \lambda + \sin \lambda}{\cosh \lambda \cdot \cos \lambda - 1} \\ F_5(\lambda) &= \lambda^2 \frac{\sinh \lambda \cdot \sin \lambda}{\cosh \lambda \cdot \cos \lambda - 1}, \quad F_6(\lambda) = -\lambda^3 \frac{\cosh \lambda \cdot \sin \lambda + \sinh \lambda \cdot \cos \lambda}{\cosh \lambda \cdot \cos \lambda - 1} \end{aligned}$$

上式で $\lambda = 0$ とするば、通常の静定マトリックス解析における剛性マトリックスが得られる。図1の解析対象モデルに対して、各橋軸径間、各橋脚に式(3)を立てることができるが、橋軸は水平並進のみの慣性力を有するとして定して、独立変数は橋軸と橋脚の接合点の水平並進量のみとす。まず橋脚部を考える。式(3)の剛性マトリックスを、接合端2, 3における連続条件により重ね合わせる。さらに、橋脚のねじれを無視するので、橋脚に影響する力はせん断力のみとなる。これを式で表わすと

$$\begin{pmatrix} R_1 \\ R_2 \\ R_3 \\ R_4 \end{pmatrix} = \begin{pmatrix} \left[\frac{EI}{l^3} F_6(\lambda) \right]_{G1} \\ \left[\frac{EI}{l^3} F_5(\lambda) \right]_{G1} \left[\frac{EI}{l^3} F_6(\lambda) \right]_{G1} + \left[\frac{EI}{l^3} F_6(\lambda) \right]_{G2} \\ 0 \left[\frac{EI}{l^3} F_5(\lambda) \right]_{G2} \left[\frac{EI}{l^3} F_6(\lambda) \right]_{G2} + \left[\frac{EI}{l^3} F_6(\lambda) \right]_{G3} \\ 0 \left[\frac{EI}{l^3} F_5(\lambda) \right]_{G3} \left[\frac{EI}{l^3} F_6(\lambda) \right]_{G3} \end{pmatrix}_{\text{Sym.}}$$

$$\begin{pmatrix} v_1 \\ v_2 \\ v_3 \\ v_4 \end{pmatrix} \quad \text{ここで } R_i: \text{橋脚 } P_i \text{ の上端に} \\ \text{かかるせん断力}, \quad v_i: \text{接合点} \\ \text{における絶対変位}, \quad \text{添字 } G_i \\ \text{は橋軸 } G_i \text{ における値を示} \\ \text{している。} \quad (4)$$

つづいて、各橋脚について考える。境界条件は、下端において $\{v_A\}_{P_1} = \{v_{G1}\}$, $\{\theta_A\}_{P_1} = \{0\}$ および上端において

$\{v_B\}_{P_1} = \{v_{G2}\}$, $\{M_B\}_{P_1} = \{0\}$ である。 v_{G1} は橋脚 P_1 の下端における入力変位、添字 G_2 は橋脚 P_1 につけられた値である。また橋脚上端の下向きは、こゝで v_{G1} と v_{G2} によること表わすことができる。従へ

$$\{R\}_p = [K_{ii}]_p \{v\} + [P_{ii}]_p \{v\} \quad (5)$$

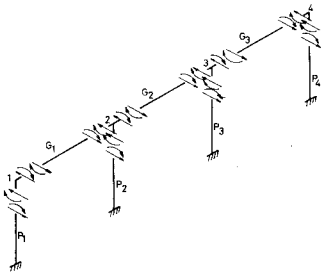


図1 解析対象モデル

$K_{ii} = \left[\frac{EI}{l^3} F_6(\lambda) - \frac{EI}{l^3} \frac{F_2(\lambda)^2}{F_2(\lambda)} \right] p_i$, $P_{ii} = \frac{EI}{l^3} F_5(\lambda) - \frac{EI}{l^3} \frac{F_2(\lambda) F_3(\lambda)}{F_2(\lambda)}$ である。以上より、全体系のつりあい式は、橋桁と橋脚上端のせん断力のつりあい条件 $\{R\}_g + \{R\}_p = 0$ から、一般に

$$[K]\{\nu\} = -[P]\{\nu_p\} \quad (6) \quad あるいは \quad \{\nu\} = [K]^{-1}[P]\{\nu_p\} \quad (6)$$

と求められる。ここで $[K] = [K]_g + [K]_p$, $[P] = [P]_g$, そして $[K]_g$ は式(4)の係数マトリックスである。式(6)'より $[K]^{-1}[P]$ は応答倍率となる。このように、右辺入力が加速度であれば、左辺の応答も絶対加速度をとる。実際の地震入力に対する応答解析では、加速度より多くは変位入力やフーリエ変換をまず計算し、それに上記の応答倍率を乗じ、その後逆フーリエ変換と取扱手法が適用される。この目的のためにには、高速フーリエ変換(FFT)を使用する。ところで、構造物の耐震解析のために構造物自体の振動特性を把握しておく必要がある。そこで解析対象モデルの固有振動モードを、式(6)から $\{\nu_p\} = 0$ として調べる。

3. 解析例

図1の解析対象モデルに対する断面諸元を表1に掲げる。これは本皿連絡橋の構造架橋の1床を基にして作成したものである。

表1 橋桁及び橋脚の断面諸元

DIMENSIONS STRUCTURES	L(m)	E(t/m²)	I(m⁴)	$\mu(t \cdot s^2/m)$
GIRDER 1	120	2.1×10^7	76.9	6.44
	2	2.1×10^7	76.9	4.29
	3	2.1×10^7	76.9	6.44
PIER 1	58	2.69×10^6	4720	18.9
	2	2.69×10^6	4720	18.9
	3	2.69×10^6	4720	18.9
	4	2.69×10^6	4720	18.9

図2は、解析結果のうちの固有振動モードを表したもので、これより橋脚においては1次モードが卓越し、橋桁における1次、2次モード組み合せで、全体系の低次モードを形成していることが判かる。
地震応答結果については、当月述べることとする。

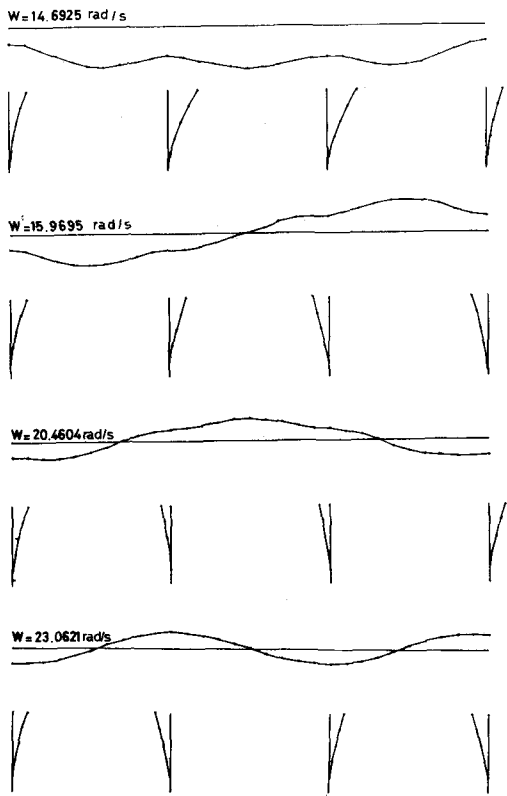


図2 固有振動モード

参考文献

- (1) Kaloušek, V.: Dynamics in Engineering Structures, Butterworths, London, 1973, pp. 69-81
- (2) 土木学会, 高橋脚橋梁の耐震設計に関する調査研究報告書, 昭和51